

## 横スリットによる噴砂現象

愛媛大学工学部土木工学科教室

正員

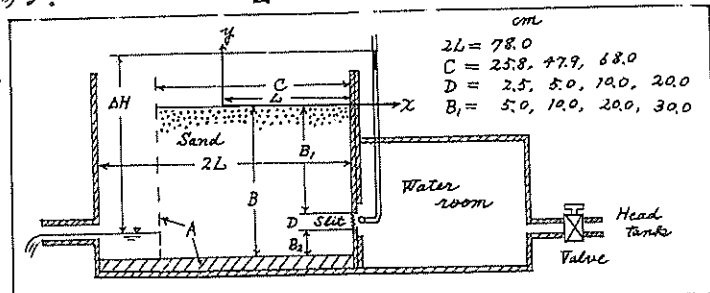
瀧野正次

新潟地震で被害の大きかった低地砂層地域で地下水の噴出・砂・吹き上げがみられたが、これに類しては福岡県田川地区の石灰岩地帯においても又えびの地震においてもみられたことがあります。筆者は、この現象を model 化して縦スリット（水の流入方向が鉛直方向）の場合について sand jet の発生条件などについて既に發表してきた。quick sand の砂層流動化は動水こう配  $I_c$  が次式

$$I_c = \frac{\Delta H_s}{B} = \frac{B - P}{P} (1 - \pi) \quad \cdots \quad (1)$$

こゝに  $P$  ; 間隙水圧  $B$  ; 砂粒および水の密度  $\Delta H_s$  ; 水位差  $B$  ; 砂層の厚さ  $D$  に達したときおこるときとされていふが、(1)式は砂層における動水こう配が一様で砂層に沿っての流動化の可能性が一様に分布する場合について導かれたもので、動水こう配が一様でない場合については水理学的に明瞭でない点が残されている。今回は横スリット（水の流入方向が水平方向）の場合における動水こう配の変化 sand jet の発生条件などについて述べるが、これも又動水こう配が大きく変化する場合の一例である。

図-1



[1] 実験装置ならびに実験結果  
実験装置は高さ 78.0 cm のヘッドタンク（水位一定）から導いた水を、スリットを通じて試料中に流入させようとしたものである。図-1 は水位が殆んど 0 に近い場合の二次元実験装置である。

水位上昇の場合については、図に示した A の部分をとりぞき、流出孔を試料上面より上に上げて実験した。実験に用いた試料は福島県相馬砂で、真比重 2.65、粒径 0.47 mm ~ 0.75 mm、浸透速度 0.35 cm/sec.、單粒子の沈降速度は 10.72 cm/sec. のもとで成り可く均一になるよう砂の厚み 3 cm おきに軽く突き固めたものである。実験はバルブを調節して噴出水压をあげ、定常状態に達したときの圧力水頭、水流量を測定した。圧力をあげてゆくと、sand jet を形成するに至る。sand jet を形成すると、スリット内の圧力水頭は減少し流量は増大する。こゝとまく定常状態を測定して一つの実験を終える。

### [2] スリットから水の浸透解析

二次元的噴砂現象を対象にして試料上面より水位が高い場合について解析した結果を記す。

図-1 に記した x 方向の流速を  $u$ 、y 方向の流速を  $v$  とするとき、二次元充流の連続式は

$$\frac{\partial u}{\partial x} + \frac{\partial v}{\partial y} = 0 \quad \cdots \cdots \cdots \quad (2)$$

これは  $u \cdot dx - v \cdot dy$  が全微分なるための必要十分条件であるから

$$u \cdot dx - v \cdot dy = d\psi$$

なる流れの関数  $\psi$  (単位巾流量) が存在する。

ならびにひを坐してあらわすと

$$u = -\frac{\partial \psi}{\partial y} \quad v = \frac{\partial \psi}{\partial x} \quad \cdots \cdots \cdots \quad (3)$$

つぎに流れが非回転であるためには

$$\frac{\partial v}{\partial x} - \frac{\partial u}{\partial y} = 0 \quad \cdots \cdots \cdots \quad (4)$$

これは  $u \cdot dx + v \cdot dy$  が全微分なるための必要十分条件であるから

$$u \cdot dx + v \cdot dy = -d\psi$$

余る速度ポテンシャル亜が存在する。

卷一

比よりびにひを重であらゆすと

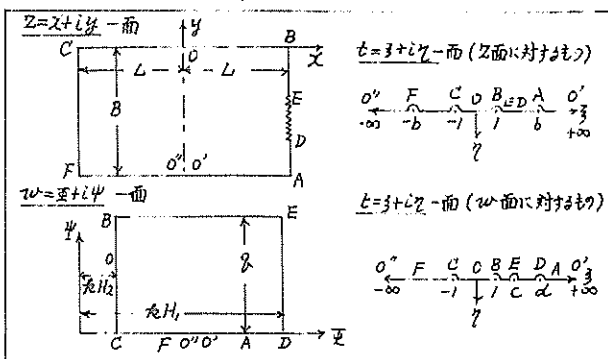
$$U = -\frac{e \phi}{2m} \quad V = -\frac{e \phi}{m} \quad \dots \quad (5)$$

(5) 式を(2)式に、(3)式を(4)式に代入する。

$$\frac{\partial^2 \Psi}{\partial x^2} + \frac{\partial^2 \Psi}{\partial y^2} = 0 \quad \frac{\partial^2 \Psi}{\partial x^2} + \frac{\partial^2 \Psi}{\partial y^2} = 0$$

(6)

従つて更に  $\sigma$  はともに Laplace の微分方程式を満足し交換可能である。つまり複素部テンソル  $W$  は



$w = x + iy$  -----(7) で定義される  $w$  は

(2) 式(4)式を満足すること(6)式より明らかであり(3)式(5)式から Cauchy-Riemann の微分方程式を満足しているので、 $\varphi$ は正則であり、従って二次元の非回転定常流では境界条件を満足するように求めようといふ。

図一乙六定義された方面より伏山面に対して

Schwarz-Christoffel の定理を適用すると、乙面における  $\zeta$  は  $\zeta = M \int \frac{dt}{(t-b-t)(-1-t)(1-t)(b-t)}$  --- (8)  
 により  $t = \zeta + i\zeta'$  で  $\zeta'$  面に写像される。又  $w$  が  $\zeta$  における

いっては  $w = N \int \frac{dt}{\sqrt{(-1-t)(-t)(c-t)(d-t)}}$  --- (9)  
 により左面に写像される。二つア矩形周辺はひず  
 水も平面上の実軸に圓に示すように対応するから、  
 右面を媒介として  $w$  と  $\bar{z}$  と  $\bar{w}$  関係が求められる。  
 また左面と右面との対応関係は  $A$  複上上の対  
 応が  $\sin \theta = \frac{b}{x} \sqrt{\frac{x^2 - 1}{z^2 - 1}}$  --- (10) とおぼく

$$\left. \begin{array}{l} y = \frac{M}{b} F(\theta, m') \quad m' = 1 - m^2 \\ m = \frac{1}{h} \quad B = -\frac{M}{b} K(m') \end{array} \right\} \text{--- (1)}$$

が得られる。こゝに  $F(\theta, m')$  は  $m'$  を母数とする第一種積円積分,  $K(m')$  は第一種完全積分である。  
 つぎに A' O' 軸上に対応から  $\frac{B}{A} = \frac{K(m')}{K(m)} \dots \text{(12)}$   
 が得られ、 $B/A$  が決まると時異点の座標(母数)  
 $m, m'$  の値は定まる。

特異点 D, E の位置は (11), (12) 式より

$$\frac{\overline{BD}}{L} = \frac{-F(\theta_d, m')}{K(m)} \quad \frac{\overline{BE}}{L} = \frac{-F(\theta_e, m')}{K(m)}$$

従つて  $\frac{BD}{L}$ ,  $\frac{BE}{L}$  を与えよと前式を満足す  $\theta_d, \theta_c$

が定まり(10)式より

$$C = \frac{b}{\sqrt{b^2 - (L^2 - 1)^2 \sin^2 \theta_F}}, \quad d = \frac{b}{\sqrt{b^2 - (L^2 - 1)^2 \cos^2 \theta_F}} \quad (13)$$

従つて  $C$  の値が  $B/\mu$  および  $\overline{BE}/\mu$  の関数として、又  $D$  の値が  $B/\mu$  および  $\overline{BD}/\mu$  の関数として求められること。

同様にひず平面とせん平面の対応から、せん平面の置換巾当りの流量名は

$$\chi^2 = \frac{(c-1)(d+1)}{(c+1)(d-1)} \quad \chi'^2 = \frac{2(d-c)}{(c+1)(d-1)} \quad \text{---(14)}$$

$$\text{从方程 2} \quad \frac{\kappa}{\kappa(H_1 - H_2)} = \frac{\kappa(x')}{\kappa(x)} \quad \dots \dots \quad (15)$$

また噴砂現象を規定する量としてBE線上の動水こう配および流速は、 $\mu = -\frac{H}{L}$  で求められる。

2面とも面との対応関係うち、BA 線上、対応か  
い。 はい いい いい

$$W\text{面} \times T\text{面} \leftrightarrow \text{対応関係} \rightarrow A, B \in \text{線} \leftrightarrow \text{対応} \quad (7)$$

$$(16) \quad (17) \text{ 式より} \quad \mu = -\frac{\partial \bar{F}}{\partial t} = N \sqrt{(b+t)(b-t)} \quad (18)$$

$$N = -\frac{K(H_1 - H_2)\sqrt{(d-1)(I+1)}}{2 \cdot K(c)}$$

(19) (20) 式を (18) 式に代入すと、

$$\frac{\frac{B}{H_1 - H_2} \left( -\frac{1}{\beta_2} \frac{\partial \overline{w}}{\partial y} \right)}{\frac{B}{L} \frac{K(m)}{2K(n)}} = \frac{\sqrt{(d-1)(1+c)}}{b} \sqrt{\frac{(b+t)(b-t)}{(c-t)(d-t)}} \quad \dots \quad (21)$$

たゞし BE 線上の  $\sin \theta$  の値(10)式より

$$t = \frac{c(d-1) - d(c-1) \sin^2 \theta}{(d-1) - (c-1) \sin^2 \theta} \quad \dots \dots (22)$$

従つて、 $B/L$ ,  $\overline{BD}/L$ ,  $\overline{BE}/L$  を与えよと、流量の無次元化され  
 $t = \frac{C(d-1) - d(c-1) \sin^2 \theta}{(d-1) - (c-1) \sin^2 \theta} \quad \dots \dots \dots \quad (22)$   
 $\frac{B}{B(H_1-H_2)} \text{ が } (22) \text{ 式より求められ、} (11), (19) \text{ 式より } \frac{y}{B} = -\frac{L}{B(H(m))} F(\theta, m') \quad \dots \dots \dots \quad (23) \text{ なる故}$   
 $(21), (23) \text{ 式より } \frac{B}{H_1-H_2} \left( -\frac{L}{B} \right) \frac{\partial y}{\partial y} \text{ が } \frac{L}{B} \text{ の関数として求められる。本実験の例について計算した結果を  
 図-3 に示した。これより次つことが言える。}$

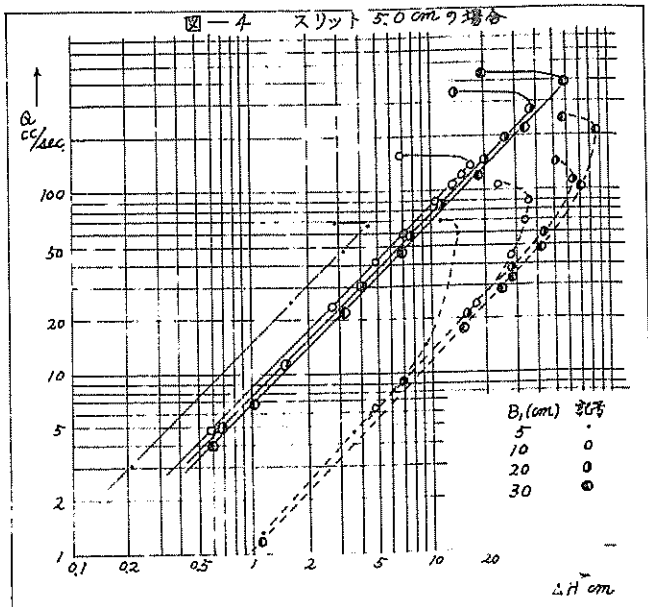
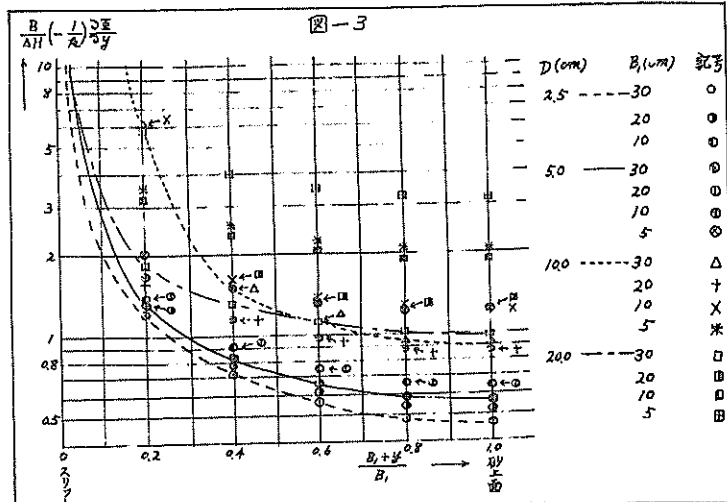
一般に、スリット位置における動水こう配の値是非常に大きく、その近傍における變化は著しい。しかも、その値は  $B_1/L$  および  $D/L$  に大きく規定される。 $(B_1+D)/B_1 \geq 0.4$  では變化は緩慢になり、砂丘の上層部では  $0.45 \sim 3.2$  の値をもつ。また、この値は  $D/L$  による變化は大きいが、 $B_1/L$  による變化は小さい。 $B_1/L$  が一定となる砂上面の

動水こう配は  $D/\mu$  が大きい程大きい値をとり、 $D/\mu$  が一定のときには  $B_1/\mu$  が小さい程大きい値をとる。また同一の  $D$  においては動水こう配の変化の仕方は似ており、 $0.8 \leq (B_1 + y)/B_1 \leq 1.0$  のは動水こう配はほとんど変化しない。

### [3] 実験結果

図-4は実験結果の一例で、二次元スリットの流量  $Q$  cc/sec. と  $\Delta H$  cm との関係を示したものである。図中——は水位が砂上面より上にあら場合、---は水位が殆んど0に近い場合である。尚前に記したふたりの関係は、 $Q = 8 \times 18.0$  (スリットの奥行き 18.0 cm) である。水位が砂上面より上にあら場合は、 $\Delta H$  が最大に達する迄両対数紙上で 45°傾斜の直線となり浸透の法則を満足するが、水位が殆んど0に近い場合、勾配は前よりも急で且つ  $\Delta H^2$  と

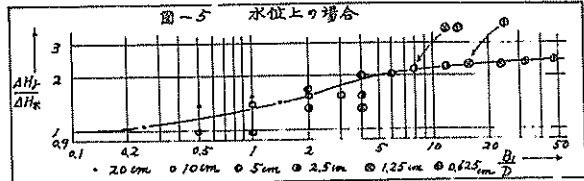
おぐときき $\gamma$  = 1.00 ハ 1.30 の値をとる。しかも  $\Delta H_f$  値が増大するにつれ  $\Delta H_f$  増大量に比し  $\eta_f$  増大量は増す。又図一 $\delta$  では不明瞭であるが、水位下り場合は略、同一の直線上に  $\gamma$  のようであるが、水位上りの場合については砂の厚み  $B_1$  が増すにつれ同じ  $\Delta H_f$  値に対し  $\eta_f$  値は小さくなる。又図一



今は細間隔  $C = 68.0 \text{ cm}$  の場合であるが(水位下の場合)、 $C$  を  $25.8 \text{ cm}, 47.9 \text{ cm}$  に変化させても  $Q$  と  $\Delta H_j$  の関係は略々同一になる。

次に sand jet の発生が  $\Delta H_j$  の最大とみて、これを  $\Delta H_{j\max}$  とする

$$\Delta H_{j\max} = f(B_1, D, B_2, L, \text{砂の密度 } \rho_s, \text{間隙率 } \alpha, \text{ slit の形状, 水位}) \quad \dots \dots \dots (24)$$



が期待される。動水こう配一様な場合には動水こう配  $I_c$  が(1)式の値に達すると噴砂が起こりとされてゐる。こゝ実験では  $I_c \approx 0.93$  であり(24)式に(1)式を導入する

$$\frac{\Delta H_{j\max}}{\Delta H_*} = f\left(\frac{B_1}{D}, \frac{B_2}{L}, \frac{B_1}{B_2}, \text{ slit の形状}\right) \quad \dots \dots \dots (25)$$

あらゆる場合について  $\frac{\Delta H_{j\max}}{\Delta H_*}$  の実験値と主要な parameter  $\frac{B_1}{D}$  との関係をプロットしたのが図-5 であり、図中に記載の説明があるのは  $D$  の値である。二元スリットの場合には、slit 附近では(1)式以上の限界における以上、流体力にさうされ、上部に安定な荷重がついて、この点を示すため、 $\frac{\Delta H_{j\max}}{\Delta H_*}$  の値は  $\frac{B_1}{D}$  の小さいときほど  $\Delta H_{j\max}/\Delta H_*$  の値から  $\frac{B_1}{D}$  とともに増加して  $\frac{\Delta H_{j\max}}{\Delta H_*} \approx 2.5$  の値に漸近するようである。また、 $D$  の異なる値に対する測定がほゞ同一曲線上に位置することから、 $\frac{\Delta H_{j\max}}{\Delta H_*}$  には  $\frac{B_1}{D}$  が重要な役割をもつと言えよう。こゝ点については、縦スリットの水位が砂上面より上にある場合と同じである。

水位が殆んどどの附近の場合について  $\frac{\Delta H_{j\max}}{\Delta H_*}$  と  $B_1$  との関係を細間隔  $C$  を変化させてプロットしたのが図-6 である。同じ条件下では、 $C$  の値を変化させても  $\frac{\Delta H_{j\max}}{\Delta H_*}$  の値は殆んど変化していない。しかし、 $C = 68.0 \text{ cm}$  の場合は、 $B_1$  の増大につれ  $\frac{\Delta H_{j\max}}{\Delta H_*}$  の値は減少する傾向がみられる。しかし、 $\frac{\Delta H_{j\max}}{\Delta H_*}$  の値は 2.7 ～ 4.6 の値をとり、水位が砂上面より上の場合に比べ噴砂を起こし難いことを示している。

また、 $D$  の影響も著しくは現われていない。縦スリットの場合においては  $B_1$  の増大とともに  $\frac{\Delta H_{j\max}}{\Delta H_*}$  の値は増加し、一定の値に達するのに対し、横スリットの場合においては略々同一の値をとるようである。終りに、九州大学工学部水工土木学科教室椿東一郎教授の御指導によることを附記し、深く謝意を表します。

#### 参考文献

椿東一郎・崎山正常・菅野正次：地下水流による噴砂現象；

愛媛大学紀要第Ⅲ部第5巻第4号、昭42.3.

